



How to construct bizarre objects: from *Baire Category* to *Convex Integration*

Master thesis

Relatore: prof. Massimo Gobbino

Alessandro La Farciola

27 Ottobre 2023





Table of Contents

1 Baire category

- ▶ Baire category
- ▶ Convex integration
- ▶ Curve a velocità unitaria
- ▶ Campi a divergenza nulla
- ▶ Il teorema di Nash-Kuiper
- ▶ Metodo generale



Baire space

1 Baire category

Definizione (Baire space)

Uno **spazio di Baire** è uno spazio topologico che soddisfa la seguente proprietà:

- Se $\{C_i\}$ è una famiglia numerabile di chiusi con $Int(C_i) = \emptyset$, allora $\bigcup_{i=1}^{\infty} C_i$ ha parte interna vuota.



Baire space

1 Baire category

Definizione (Baire space)

Uno **spazio di Baire** è uno spazio topologico che soddisfa la seguente proprietà:

- Se $\{C_i\}$ è una famiglia numerabile di chiusi con $Int(C_i) = \emptyset$, allora $\bigcup_{i=1}^{\infty} C_i$ ha parte interna vuota.

Definizione

Sia X uno spazio topologico. Allora $Y \subseteq X$ è detto

- **Magro** se è unione numerabile di chiusi a parte interna vuota;
- **Residuale** se $X \setminus Y$ è magro.



Baire space

1 Baire category

Definizione (Baire space)

Uno **spazio di Baire** è uno spazio topologico che soddisfa la seguente proprietà:

- Se $\{C_i\}$ è una famiglia numerabile di chiusi con $\text{Int}(C_i) = \emptyset$, allora $\bigcup_{i=1}^{\infty} C_i$ ha parte interna vuota.

Definizione

Sia X uno spazio topologico. Allora $Y \subseteq X$ è detto

- **Magro** se è unione numerabile di chiusi a parte interna vuota;
- **Residuale** se $X \setminus Y$ è magro.

Teorema (Baire)

Uno spazio metrico completo è uno spazio di Baire.



Baire category theorem

1 Baire category

Proposizione

Sia V lo spazio delle funzioni limitate $f : \mathbb{R} \rightarrow \mathbb{R}$ Lipschitz con costante ≤ 1 , con la metrica del sup. Allora l'insieme delle funzioni con costante di Lipschitz $= 1$ in ogni intervallo è residuale.



Baire category theorem

1 Baire category

Proposizione

Sia V lo spazio delle funzioni limitate $f : \mathbb{R} \rightarrow \mathbb{R}$ Lipschitz con costante ≤ 1 , con la metrica del sup. Allora l'insieme delle funzioni con costante di Lipschitz = 1 in ogni intervallo è residuale.

- V è uno spazio metrico completo (e quindi di Baire).
- $C_k := \{f \in V : \exists x_f \in [-k, k] \text{ t.c. } |f(x) - f(y)| \leq (1 - \frac{1}{k}) |x - y| \forall x, y \in [x_f, x_f + \frac{1}{k}]\}$.
- C_k sono chiusi e $\text{Int}(C_k) = \emptyset$.



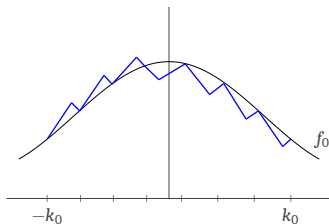
Baire category theorem

1 Baire category

Proposizione

Sia V lo spazio delle funzioni limitate $f : \mathbb{R} \rightarrow \mathbb{R}$ Lipschitz con costante ≤ 1 , con la metrica del sup. Allora l'insieme delle funzioni con costante di Lipschitz = 1 in ogni intervallo è residuale.

- V è uno spazio metrico completo (e quindi di Baire).
- $C_k := \{f \in V : \exists x_f \in [-k, k] \text{ t.c. } |f(x) - f(y)| \leq (1 - \frac{1}{k}) |x - y| \forall x, y \in [x_f, x_f + \frac{1}{k}]\}$.
- C_k sono chiusi e $\text{Int}(C_k) = \emptyset$.





Baire category theorem

1 Baire category

Nello spazio delle funzioni limitate $f : \mathbb{R} \rightarrow \mathbb{R}$ che siano $1/2$ -Hölder in \mathbb{R} , quelle che non sono Lipschitz in nessun intervallo $(a, b) \subseteq \mathbb{R}$ sono residuali.

Nello spazio degli insiemi misurabili $E \subseteq [0, 1]$, quelli che per ogni intervallo $I \subseteq [0, 1]$ sia $E \cap I$ che $E^c \cap I$ hanno misura strettamente positiva sono residuali.

Nello spazio di funzioni $f \in L^2(a, b)$ with $|f(x)| \leq 1$ q.o., l'insieme delle funzioni $f(x) \in \{-1, 1\}$ q.o. è residuale rispetto alla metrica che induce la convergenza debole nella palla.



Baire category theorem

1 Baire category

Nello spazio delle funzioni limitate $f : \mathbb{R} \rightarrow \mathbb{R}$ che siano $1/2$ -Hölder in \mathbb{R} , quelle che non sono Lipschitz in nessun intervallo $(a, b) \subseteq \mathbb{R}$ sono residuali.

Nello spazio degli insiemi misurabili $E \subseteq [0, 1]$, quelli che per ogni intervallo $I \subseteq [0, 1]$ sia $E \cap I$ che $E^c \cap I$ hanno misura strettamente positiva sono residuali.

Nello spazio di funzioni $f \in L^2(a, b)$ with $|f(x)| \leq 1$ q.o., l'insieme delle funzioni $f(x) \in \{-1, 1\}$ q.o. è residuale rispetto alla metrica che induce la convergenza debole nella palla.



Baire category theorem

1 Baire category

Nello spazio delle funzioni limitate $f : \mathbb{R} \rightarrow \mathbb{R}$ che siano $1/2$ -Hölder in \mathbb{R} , quelle che non sono Lipschitz in nessun intervallo $(a, b) \subseteq \mathbb{R}$ sono residuali.

Nello spazio degli insiemi misurabili $E \subseteq [0, 1]$, quelli che per ogni intervallo $I \subseteq [0, 1]$ sia $E \cap I$ che $E^c \cap I$ hanno misura strettamente positiva sono residuali.

Nello spazio di funzioni $f \in L^2(a, b)$ with $|f(x)| \leq 1$ q.o., l'insieme delle funzioni $f(x) \in \{-1, 1\}$ q.o. è residuale rispetto alla metrica che induce la convergenza debole nella palla.



Table of Contents

2 Convex integration

- ▶ Baire category
- ▶ **Convex integration**
- ▶ Curve a velocità unitaria
- ▶ Campi a divergenza nulla
- ▶ Il teorema di Nash-Kuiper
- ▶ Metodo generale



Dal Teorema di Nash-Kuiper alla fluidodinamica

2 Convex integration

Teorema (Nash-Kuiper, 1954-1955)

Sia (M^d, g) una varietà Rimaniana d -dimensionale C^∞ chiusa. Sia $\phi : M^d \rightarrow \mathbb{R}^n$ un'immersione (o embedding) C^∞ strictly short, con $n \geq d + 1$.

Allora, per ogni $\epsilon > 0$ esiste un'immersione (o embedding) isometrica C^1 , $\psi : M^d \rightarrow \mathbb{R}^n$ tale che $\|\phi - \psi\|_{C^0} \leq \epsilon$.

¹ The image can be found on the website <https://hevea-project.fr/ENIndexHevea.html>, thanks to the work of V. Borrelli et al.



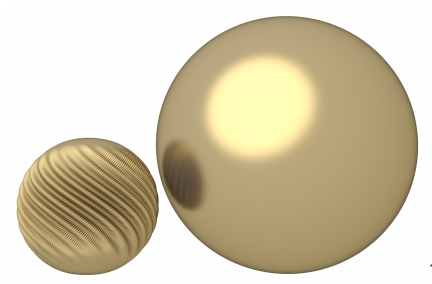
Dal Teorema di Nash-Kuiper alla fluidodinamica

2 Convex integration

Teorema (Nash-Kuiper, 1954-1955)

Sia (M^d, g) una varietà Rimaniana d -dimensionale C^∞ chiusa. Sia $\phi : M^d \rightarrow \mathbb{R}^n$ un'immersione (o embedding) C^∞ strictly short, con $n \geq d + 1$.

Allora, per ogni $\epsilon > 0$ esiste un'immersione (o embedding) isometrica C^1 , $\psi : M^d \rightarrow \mathbb{R}^n$ tale che $\|\phi - \psi\|_{C^0} \leq \epsilon$.



¹ The image can be found on the website <https://hevea-project.fr/ENIndexHevea.html>, thanks to the work of V. Borrelli et al.



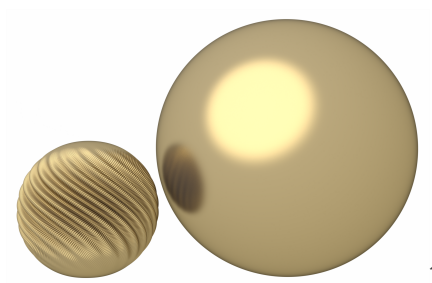
Dal Teorema di Nash-Kuiper alla fluidodinamica

2 Convex integration

Teorema (Nash-Kuiper, 1954-1955)

Sia (M^d, g) una varietà Rimaniana d -dimensionale C^∞ chiusa. Sia $\phi : M^d \rightarrow \mathbb{R}^n$ un'immersione (o embedding) C^∞ strictly short, con $n \geq d + 1$.

Allora, per ogni $\epsilon > 0$ esiste un'immersione (o embedding) isometrica C^1 , $\psi : M^d \rightarrow \mathbb{R}^n$ tale che $\|\phi - \psi\|_{C^0} \leq \epsilon$.



- In coordinate locali, la condizione di isometria diventa $\partial_i u \cdot \partial_j u = g_{ij}$, un sistema di $\frac{1}{2}d(d+1)$ equazioni in n incognite.

¹ The image can be found on the website <https://hevea-project.fr/ENIndexHevea.html>, thanks to the work of V. Borrelli et al.



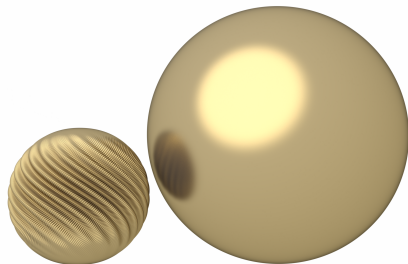
Dal Teorema di Nash-Kuiper alla fluidodinamica

2 Convex integration

Teorema (Nash-Kuiper, 1954-1955)

Sia (M^d, g) una varietà Rimaniana d -dimensionale C^∞ chiusa. Sia $\phi : M^d \rightarrow \mathbb{R}^n$ un'immersione (o embedding) C^∞ strictly short, con $n \geq d + 1$.

Allora, per ogni $\epsilon > 0$ esiste un'immersione (o embedding) isometrica C^1 , $\psi : M^d \rightarrow \mathbb{R}^n$ tale che $\|\phi - \psi\|_{C^0} \leq \epsilon$.



- In coordinate locali, la condizione di isometria diventa $\partial_i u \cdot \partial_j u = g_{ij}$, un sistema di $\frac{1}{2}d(d+1)$ equazioni in n incognite.
- Il nome **convex integration** è dovuto a Gromov (1986), che in seguito ha formalizzato una teoria più generale estendendo il risultato di Nash-Kuiper.

¹ The image can be found on the website <https://hevea-project.fr/ENIndexHevea.html>, thanks to the work of V. Borrelli et al.



Dal Teorema di Nash-Kuiper alla fluidodinamica

2 Convex integration

Incompressible Euler equations

$$\begin{cases} \partial_t v + (v \cdot \nabla) v + \nabla p = 0 \\ \operatorname{div} v = 0 \end{cases}$$

Energia totale

$$e(t) := \frac{1}{2} \int_{\mathbb{T}^3} |v(x, t)|^2 dx$$



Dal Teorema di Nash-Kuiper alla fluidodinamica

2 Convex integration

Incompressible Euler equations

$$\begin{cases} \partial_t v + (v \cdot \nabla) v + \nabla p = 0 \\ \operatorname{div} v = 0 \end{cases}$$

Energia totale

$$e(t) := \frac{1}{2} \int_{\mathbb{T}^3} |v(x, t)|^2 dx$$

Congettura (Onsager, 1949)

Consideriamo le soluzioni deboli delle equazioni di Eulero 3-dimensionali periodiche, dove la velocità v è Hölderiana con esponente θ .

1. Se $\theta > \frac{1}{3}$, allora l'energia totale di v è costante.
2. Per ogni $\theta < \frac{1}{3}$ esistono soluzioni v per cui l'energia totale non è costante.



Dal Teorema di Nash-Kuiper alla fluidodinamica

2 Convex integration

Incompressible Euler equations

$$\begin{cases} \partial_t v + (v \cdot \nabla) v + \nabla p = 0 \\ \operatorname{div} v = 0 \end{cases}$$

Energia totale

$$e(t) := \frac{1}{2} \int_{\mathbb{T}^3} |v(x, t)|^2 dx$$

Congettura (Onsager, 1949)

Consideriamo le soluzioni deboli delle equazioni di Eulero 3-dimensionali periodiche, dove la velocità v è Hölderiana con esponente θ .

1. Se $\theta > \frac{1}{3}$, allora l'energia totale di v è costante.
2. Per ogni $\theta < \frac{1}{3}$ esistono soluzioni v per cui l'energia totale non è costante.

- A partire dai lavori di C. De Lellis e L. Székelyhidi, si è potuto applicare il metodo della convex integration per costruire soluzioni deboli che dissipano l'energia.
- La procedura iterativa utilizzata per Eulero segue la stessa strategia di Nash per le immersioni isometriche.



Table of Contents

3 Curve a velocità unitaria

- ▶ Baire category
- ▶ Convex integration
- ▶ **Curve a velocità unitaria**
- ▶ Campi a divergenza nulla
- ▶ Il teorema di Nash-Kuiper
- ▶ Metodo generale



Presentazione del problema 1

3 Curve a velocità unitaria

Teorema

Consideriamo V l'insieme delle curve

$$V := \{u : [0, 1] \longrightarrow \mathbb{R}^d : u \in \mathcal{C}^1, \|u'(t)\|_{\mathbb{R}^d} \leq 1 \ \forall t \in [0, 1]\}.$$

Allora, quelle con velocità unitaria

$$W := \{u : [0, 1] \rightarrow \mathbb{R}^d : u \in \mathcal{C}^1, \|u'(t)\|_{\mathbb{R}^d} = 1 \ \forall t \in [0, 1]\}$$

sono \mathcal{C}^0 -dense in V . Ovvero, per ogni $u \in V$ e per ogni $\epsilon > 0$, esiste una curva $u_\epsilon : [0, 1] \rightarrow \mathbb{R}^d$ con

- (i) $\|u'_\epsilon(t)\|_{\mathbb{R}^d} = 1, \ \forall t \in [0, 1];$
- (ii) $\|u_\epsilon(t) - u(t)\|_{\mathbb{R}^d} \leq \epsilon, \ \forall t \in [0, 1].$



Table of Contents

4 Campi a divergenza nulla

- ▶ Baire category
- ▶ Convex integration
- ▶ Curve a velocità unitaria
- ▶ **Campi a divergenza nulla**
- ▶ Il teorema di Nash-Kuiper
- ▶ Metodo generale



Presentazione del problema 2

4 Campi a divergenza nulla

Teorema

Sia $\Omega \subset \mathbb{R}^3$ un aperto limitato. Esistono infiniti $u \in L^\infty(\mathbb{R}^3, \mathbb{R}^3)$ tali che

$$\begin{cases} \operatorname{div} u = 0 & \text{in } \mathcal{D}'(\mathbb{R}^3), \\ \|u(x)\|_{\mathbb{R}^3} = 1 & \text{per quasi ogni } x \in \Omega. \\ u(x) = 0 & \text{per quasi ogni } x \notin \Omega \end{cases}$$

- La prima condizione è equivalente a

$$\int_{\mathbb{R}^3} u \cdot \nabla \varphi = 0 \quad \forall \varphi \in \mathcal{C}_0^\infty(\mathbb{R}^3).$$



Table of Contents

5 Il teorema di Nash-Kuiper

- ▶ Baire category
- ▶ Convex integration
- ▶ Curve a velocità unitaria
- ▶ Campi a divergenza nulla
- ▶ **Il teorema di Nash-Kuiper**
- ▶ Metodo generale



Presentazione del problema 3

5 Il teorema di Nash-Kuiper

Sia $D^2 \subset \mathbb{R}^2$ il disco unitario.

Definizione

Sia $u : D^2 \rightarrow \mathbb{R}^N$ un'immersione. Allora diciamo che u è **short** se per ogni curva $\gamma : [0, 1] \rightarrow D^2$ di classe C^1

$$\ell(u \circ \gamma) \leq \ell(\gamma),$$

dove ℓ rappresenta la lunghezza della curva. Mentre, u è **strictly short** se $\ell(u \circ \gamma) < \ell(\gamma)$. In più, diciamo che u è **isometrica** se $\ell(u \circ \gamma) = \ell(\gamma)$.



Presentazione del problema 3

5 Il teorema di Nash-Kuiper

Sia $D^2 \subset \mathbb{R}^2$ il disco unitario.

Definizione

Sia $u : D^2 \rightarrow \mathbb{R}^N$ un'immersione. Allora diciamo che u è **short** se per ogni curva $\gamma : [0, 1] \rightarrow D^2$ di classe C^1

$$\ell(u \circ \gamma) \leq \ell(\gamma),$$

dove ℓ rappresenta la lunghezza della curva. Mentre, u è **strictly short** se $\ell(u \circ \gamma) < \ell(\gamma)$. In più, diciamo che u è **isometrica** se $\ell(u \circ \gamma) = \ell(\gamma)$.

Teorema (Nash-Kuiper nel disco)

Sia $N \geq 3$. Sia $u : D^2 \rightarrow \mathbb{R}^N$ un'immersione C^∞ strictly short.

Allora per ogni $\epsilon > 0$ esiste un'immersione C^1 isometrica $u_\epsilon : D^2 \rightarrow \mathbb{R}^N$ tale che $\|u - u_\epsilon\|_{C^0} \leq \epsilon$.



Presentazione del problema 3

5 Il teorema di Nash-Kuiper

Definizione

Consideriamo $u : D^2 \rightarrow \mathbb{R}^N$ un'immersione di classe C^1 . Allora definiamo $M_u : D^2 \rightarrow \mathbb{R}^{2 \times 2}$ come

$$M_u(x) := Ju(x)^T Ju(x),$$

dove Ju rappresenta la matrice jacobiana.



Presentazione del problema 3

5 Il teorema di Nash-Kuiper

Definizione

Consideriamo $u : D^2 \rightarrow \mathbb{R}^N$ un'immersione di classe C^1 . Allora definiamo $M_u : D^2 \rightarrow \mathbb{R}^{2 \times 2}$ come

$$M_u(x) := Ju(x)^T Ju(x),$$

dove Ju rappresenta la matrice jacobiana.

Lemma (Caratterizzazione delle immersioni short)

Sia $u : D^2 \rightarrow \mathbb{R}^N$ un'immersione. Allora,

- u è **short** se e solo se $M_u \leq Id$, cioè esiste $R_u : D^2 \rightarrow \mathbb{R}^{2 \times 2}$ simmetrica e semidefinita positiva tale che $M_u + R_u = Id$.
- u è **strictly short** se e solo se $M_u < Id$, cioè R_u simmetrica definita positiva.
- u è **isometrica** se e solo se $M_u = Id$, cioè $R_u = 0$.



Table of Contents

6 Metodo generale

- ▶ Baire category
- ▶ Convex integration
- ▶ Curve a velocità unitaria
- ▶ Campi a divergenza nulla
- ▶ Il teorema di Nash-Kuiper
- ▶ **Metodo generale**



Convex integration

6 Metodo generale

Curve a velocità unitaria

Campi a divergenza nulla

Nash-Kuiper

Goal: risolvere un'equazione

$$\|u'(t)\|_{\mathbb{R}^d} = 1$$

$$\|u(x)\|_{\mathbb{R}^3} = 1$$

$$M_u = Id$$



Convex integration

6 Metodo generale

Curve a velocità unitaria

Campi a divergenza nulla

Nash-Kuiper

Goal: risolvere un'equazione

$$\|u'(t)\|_{\mathbb{R}^d} = 1$$

$$\|u(x)\|_{\mathbb{R}^3} = 1$$

$$M_u = Id$$

Rilassamento: partire da sottosoluzioni

$$\|u'(t)\|_{\mathbb{R}^d} < 1$$

$$\|u(x)\|_{\mathbb{R}^3} < 1$$

$$M_u < Id$$



Convex integration

6 Metodo generale

Curve a velocità unitaria

Campi a divergenza nulla

Nash-Kuiper

Goal: risolvere un'equazione

$$\|u'(t)\|_{\mathbb{R}^d} = 1$$

$$\|u(x)\|_{\mathbb{R}^3} = 1$$

$$M_u = Id$$

Rilassamento: partire da sottosoluzioni

$$\|u'(t)\|_{\mathbb{R}^d} < 1$$

$$\|u(x)\|_{\mathbb{R}^3} < 1$$

$$M_u < Id$$

Gap: distanza dall'obiettivo, che definiamo $I(u)$

$$1 - \|u'(t)\|_{\mathbb{R}^d}^2$$

$$\int_{\Omega} (1 - \|u(x)\|_{\mathbb{R}^3}^2) dx$$

$$\|Id - M_u\|_{C^0}$$



Convex integration

6 Metodo generale

Curve a velocità unitaria

Campi a divergenza nulla

Nash-Kuiper

Goal: risolvere un'equazione

$$\|u'(t)\|_{\mathbb{R}^d} = 1$$

$$\|u(x)\|_{\mathbb{R}^3} = 1$$

$$M_u = Id$$

Rilassamento: partire da sottosoluzioni

$$\|u'(t)\|_{\mathbb{R}^d} < 1$$

$$\|u(x)\|_{\mathbb{R}^3} < 1$$

$$M_u < Id$$

Gap: distanza dall'obiettivo, che definiamo $I(u)$

$$1 - \|u'(t)\|_{\mathbb{R}^d}^2$$

$$\int_{\Omega} (1 - \|u(x)\|_{\mathbb{R}^3}^2) dx$$

$$\|Id - M_u\|_{C^0}$$

Metrica

$$C^0$$

Debole L^2

$$C^0$$



Convex integration

6 Metodo generale

Curve a velocità unitaria

Campi a divergenza nulla

Nash-Kuiper

Goal: risolvere un'equazione

$$\|u'(t)\|_{\mathbb{R}^d} = 1$$

$$\|u(x)\|_{\mathbb{R}^3} = 1$$

$$M_u = Id$$

Rilassamento: partire da sottosoluzioni

$$\|u'(t)\|_{\mathbb{R}^d} < 1$$

$$\|u(x)\|_{\mathbb{R}^3} < 1$$

$$M_u < Id$$

Gap: distanza dall'obiettivo, che definiamo $I(u)$

$$1 - \|u'(t)\|_{\mathbb{R}^d}^2$$

$$\int_{\Omega} (1 - \|u(x)\|_{\mathbb{R}^3}^2) dx$$

$$\|Id - M_u\|_{C^0}$$

Metrica

$$C^0$$

Debole L^2

$$C^0$$

Claim: $\{I(u) = 0\}$ denso in

$$\{\|u'(t)\|_{\mathbb{R}^d} \leq 1\}$$

$$\overline{\{u \in C_0^\infty(\Omega) : \operatorname{div} u = 0, \\ \|u(x)\|_{\mathbb{R}^3} < 1\}}$$

$\{u \text{ short}\}$



Curve in codimensione 2 : iterazione

6 Metodo generale

Supponiamo che $u : [0, 1] \rightarrow \mathbb{R}^3$.

- Approssimo u con una curva affine a tratti e in ogni tratto $[t_i, t_{i+1}]$ chiamo $a_i^2 := I(u)$.
- Considero la spirale a velocità unitaria. Ovvero, presi $\xi, \eta \in \mathbb{R}^3$ di norma unitaria tale che $\xi \perp \eta \perp u'$, definisco

$$u_n := u + \frac{a_i}{2\pi n} (\xi \cos(2\pi nt) + \eta \sin(2\pi nt)).$$

- Da cui $u'_n = u' + a_i(-\xi \sin(2\pi nt) + \eta \cos(2\pi nt))$. Quindi, $\|u'_n\|_{\mathbb{R}^3}^2 = \|u'\|_{\mathbb{R}^3}^2 + a_i^2 = 1$.
- In più, $u_n \xrightarrow{C^0} u$.



Curve in codimensione 1 : iterazione

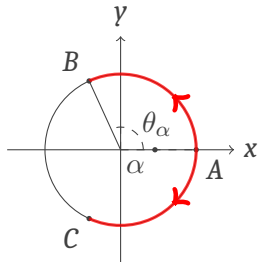
6 Metodo generale

Supponiamo che $u : [0, 1] \rightarrow \mathbb{R}^2$.

Lemma

Consideriamo $v \in B(0, 1) \subseteq \mathbb{R}^2$. Allora esiste un loop $h : [0, 1] \rightarrow \mathcal{S}^1$ tale che

$$v = \int_0^1 h(s) ds.$$



² E. Bartzos, V. Borrelli, et al. . An Explicit Isometric Reduction of the Unit Sphere into an Arbitrarily Small Ball. F. of Comp. Math., 2018 , 18(4), pp.1015-1042.



Curve in codimensione 1 : iterazione

6 Metodo generale

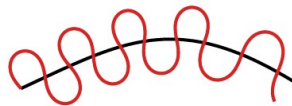
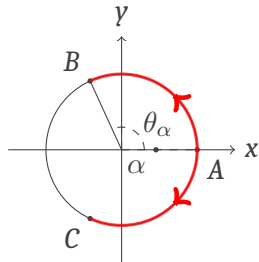
Supponiamo che $u : [0, 1] \rightarrow \mathbb{R}^2$.

Lemma

Consideriamo $v \in B(0, 1) \subseteq \mathbb{R}^2$. Allora esiste un loop $h : [0, 1] \rightarrow \mathcal{S}^1$ tale che

$$v = \int_0^1 h(s) ds.$$

- Chiamo $u'_n(t)$ il loop che percorre $h(t)$ n volte.
- Definisco $u_n(t) := u(0) + \int_0^t u'_n(s) ds$.
- In più, $\|u_n - u\|_{C^0} \rightarrow 0$.



2

² E. Bartosz, V. Borrelli, et al. . An Explicit Isometric Reduction of the Unit Sphere into an Arbitrarily Small Ball. F. of Comp. Math., 2018 , 18(4), pp.1015-1042.



Campi a divergenza nulla: perturbation argument

6 Metodo generale

- Idea: $u_n(x) := u(x) + \operatorname{curl} v_n(x)$.
- Prendiamo $\xi, \eta \in \mathbb{R}^3$ tale che $\|\xi\|_{\mathbb{R}^3} = \|\eta\|_{\mathbb{R}^3} = 1$ e $\xi \perp \eta$.
- Data $\phi \in C_0^\infty(\Omega)$ una funzione cut-off, definiamo

$$v_n(x) := \frac{\eta}{2n} (1 - \|u(x)\|_{\mathbb{R}^3}^2) \phi(x) \sin(nx \cdot \xi).$$

- Quando derivo, ottengo

$$\operatorname{curl} v_n = \frac{\xi \times \eta}{2} (1 - \|u(x)\|_{\mathbb{R}^3}^2) \phi(x) \cos(nx \cdot \xi) + O\left(\frac{1}{n}\right).$$



Codimensione 2

6 Metodo generale

Supponiamo che $R_u = a^2 v v^T$ sia rank one, con a di classe C^∞ e v di norma unitaria.

- Idea: $u_n = u + v_n$.

- Definiamo:

$$v_n(x) := \frac{a(x)}{n} (\xi(x) \cos(nx \cdot v) + \eta(x) \sin(nx \cdot v)) .$$

- I due campi $\xi, \eta : D^2 \rightarrow \mathbb{R}^4$ sono di classe C^∞ e tale che per ogni $x \in D^2$

(i) $\|\xi(x)\|_{\mathbb{R}^4} = \|\eta(x)\|_{\mathbb{R}^4} = 1$;

(ii) $\xi(x) \perp \eta(x) \perp \partial_{x_1} u(x) \perp \partial_{x_2} u(x)$.

Per il caso generale, possiamo sfruttare una decomposizione rank one del gap metrico:

$R_u(x) = \sum_{k=1}^K a_k(x)^2 v_k v_k^T$, per opportune funzioni C^∞ a_k e vettori unitari v_k .



Codimensione 2

6 Metodo generale

Supponiamo che $R_u = a^2 v v^T$ sia rank one, con a di classe C^∞ e v di norma unitaria.

- Idea: $u_n = u + v_n$.

- Definiamo:

$$v_n(x) := \frac{a(x)}{n} (\xi(x) \cos(nx \cdot v) + \eta(x) \sin(nx \cdot v)) .$$

- I due campi $\xi, \eta : D^2 \rightarrow \mathbb{R}^4$ sono di classe C^∞ e tale che per ogni $x \in D^2$

(i) $\|\xi(x)\|_{\mathbb{R}^4} = \|\eta(x)\|_{\mathbb{R}^4} = 1$;

(ii) $\xi(x) \perp \eta(x) \perp \partial_{x_1} u(x) \perp \partial_{x_2} u(x)$.

Per il caso generale, possiamo sfruttare una decomposizione rank one del gap metrico:

$R_u(x) = \sum_{k=1}^K a_k(x)^2 v_k v_k^T$, per opportune funzioni C^∞ a_k e vettori unitari v_k .



Codimensione 1

6 Metodo generale

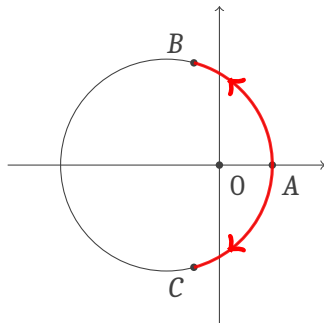
- Idea: $u_n = u + v_n$.
- Prendiamo due campi $\zeta, \eta : D^2 \rightarrow \mathbb{R}^3$ di classe C^∞ tale che per ogni $x \in D^2$

- (i) $\|\zeta(x)\|_{\mathbb{R}^3} = \|\eta(x)\|_{\mathbb{R}^3} = 1$;
- (ii) $\eta(x) \perp \partial_{x_1} u(x) \perp \partial_{x_2} u(x)$;
- (iii) $\zeta(x) \perp \eta(x) \perp \partial_{x_2} u(x)$;
- (iv) $\zeta(x) \cdot \partial_{x_1} u(x)$ sempre positivo.

- Definiamo:

$$v_n(x) := \frac{a(x)}{n} (\zeta(x) \gamma_1(x, \{nx \cdot v\}) + \eta(x) \gamma_2(x, \{nx \cdot v\})),$$

dove $\gamma_i : D^2 \times [0, 1] \rightarrow \mathbb{R}$ soddisfano una relazione differenziale.





Citazione conclusiva

6 Metodo generale

“Nash, like Columbus, unwillingly discovered a new land. [...] It may be hard to decide what this land is but it is easy to say what it is not: what Nash discovered is not any part of Riemannian geometry, neither has it much (if anything at all) to do with classical PDE”

— Michail Leonidovič Gromov³

³ M. Gromov; Geometric, algebraic, and analytic descendants of Nash isometric embedding theorems, *Bull. Amer. Math. Soc.(N.S.)* **54** (2017), no. 2, 173–245.



GRAZIE PER L'ATTENZIONE